

T3 ファージの尾部纖維の構造

加 藤 尚 子

は じ め に

T3 ファージは大腸菌を宿主とする細菌ウィルス（ファージ）の一つである。その構造は正二十面体様の頭部の中に一本の線状二重鎖DNAをもち又、宿主吸着器官である尾部と6本の尾部纖維から構成されている（図1）。尾部纖維は長さ約36nmで真中で折れ曲った纖維構造をしていて、遺伝子17でコードされるタンパク(gp 17)^①一種類で構成されている。宿主の細胞表面の特異的な部位(receptor)に吸着して、尾部からDNAを宿主内に注入することによりファージの増殖が始まる。尾部纖維は最初のステップである宿主への特異的な吸着に働いている。従って尾部纖維に欠損をもつ突然変異体は致死的になる。尾部纖維の一端はファージの尾部に結合しており、もう一つの端は細菌に吸着するというように二つの端が異なる働きをしている。又大量のファージをウサギの血液中に注射するとファージに対する抗体（抗ファージ抗体）ができるが、この抗体が反応する部位がファージの尾部纖維であることが知られている。^② T3 ファージの場合も抗血清阻止能(Serum Blocking Power, SBP)は大部分が尾部纖維にあることがわかった。このように尾部纖

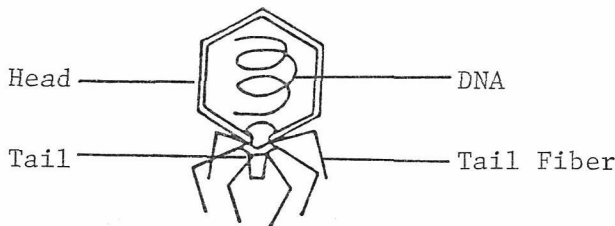


図1 T3 ファージ
頭部の内部は透視図のようにして表わしている。

維は一種類のタンパク(gp 17)ながら尾部への結合部位、抗血清反応部位、宿主吸着部位など特異的な働きをする部位(domain)をもつ多機能な構造タンパクである。その意味で尾部纖維の構造と機能の関係を調べることは興味深いことである。過去数年間に行った尾部纖維に関する研究結果をすでに何報か報告しているが、ここではそれらをまとめて特に尾部纖維の構造について報告することにする。

尾部纖維の構造について

1) 尾部纖維の精製^③

尾部纖維の構造と機能との関係を明らかにするためには、まず尾部纖維が何個の単量体(monomer)からできているのかを知らねばならない。従来精製したファージのタンパク組成の分析から1ファージ当りのgp 17のコピー数が計算されて、この結果から1尾部纖維当り4のgp 17即ち4量体と見つもらっていた。そこで、そのことを確定するために2価のタンパク質架橋剤を用いて分析することが必要になった。そのためには尾部纖維を精製することから始めなければならない。

大腸菌 *E. coli* BB を 5×10^8 cells/ml になるまで M 9 A 培養液(20l) 中で 37°C で培養する。それに 5⁻ - 10⁻ ファージ(遺伝子 5 と 10 のアンバー突然変異株)を 1 細菌当り 5 ファージが感染するようにファージを感染させて 30°C, 25 分間培養する。遺伝子 5 は DNA 合成に関する遺伝子であり、10は頭部構成タンパクであるのでこの感染菌内では、ファージのDNAや頭部が形成されず、また頭部に集合する形で形成される尾部の集合もおこらないで結局ファージ構造体としては尾部纖維が形成されるだけである。感染菌を遠心

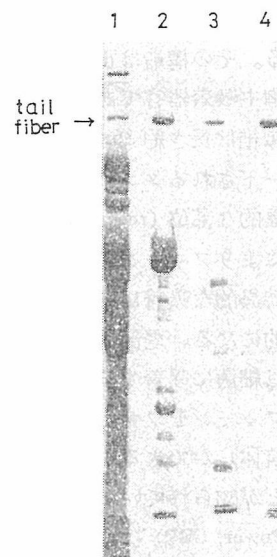


図 2 尾部纖維の精製

尾部纖維の精製の各段階を SDS-ポリアクリルアミドゲル電気泳動法により分析した。1; 1 回目の DEAE カラムクロマトグラフィー, 0.15 M-NaCl 溶出分画, 2; フォスフォセルロースカラムの通過分画, 3; セファデックス G-100 カラムの通過分画, 4; ハイドロキシルアバタイト・カラムクロマトグラフィー, 20 mM-リン酸バッファー溶出分画

で集めて超音波で細菌をこわして後、リゾチームとトリトンX-100で細胞膜から尾部纖維を遊離する。細胞膜を遠心で除いた上澄液に30%飽和になるよう硫酸アンモニウムを入れ溶かしてできた沈殿を除く。上澄液にさらに60%飽和になるよう硫酸アンモニウムを入れて沈殿した分画を透析後、D E A Eカラムクロマトグラフィーにかけて0.15M-NaClで溶出する(図2, 1)。透析後フォスフォ・セルロース・カラムクロマトグラフィーを通過させ(図2, 2), 2回目のD E A Eカラム・クロマトグラフィーにかけて0.15M-NaClで溶出する。その溶出液を0.2M-NaClにしてセファデックスG-100カラム・クロマトグラフィーにかけてその通過部分を集めて(図2, 3), 最後にハイドロキシル・アパタイトカラムクロマトグラフィーにかける。20mMリン酸カリウムを含むバッファーPで溶出すると約80%ぐらいの純度の尾部纖維が得られた(図2, 4)。

2) 精製した尾部纖維のサブユニット構造

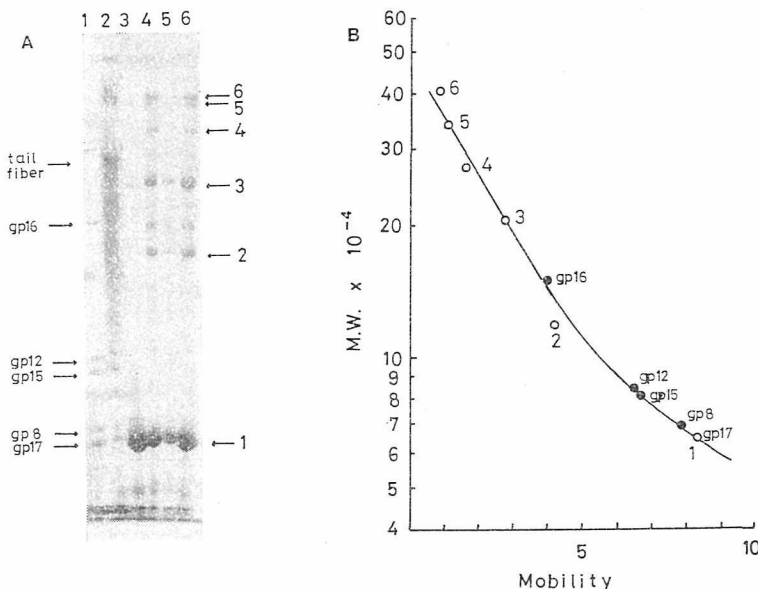


図3 ジメチルスペルイミダートで架橋されたgp 17のSDS-PAGEによる分析

A; 精製された(図2, 4)はDMSで架橋され、サンプルバッファー中で100°C, 2分間加熱した場合としない場合をSDS-PAGEで分析された。1; T3 ファージ(マーカー, 加熱) 2; 加熱しない尾部纖維, 3; 加熱した尾部纖維, 4~6; DMSで架橋後加熱した尾部纖維。

B; 図3Aの結果を横軸に移動度、縦軸に分子量をとってプロットした。

精製した尾部纖維を架橋剤スペルイミデート(DMS)を用いて架橋すると、もし3本のサブユニットで構成されているものならば架橋後、熱変性すると三本架橋されているもの(三量体)、二本架橋されているもの(二量体)、一本のもの(単量体)が現われることが期待される。図3に示すように架橋後変性すると、一、二、三、四、五、六量体が現われる。特に一、二、三量体が多く現われ、四、五、六量体は少ししか現われていないことから尾部纖維はgp 17の三量体であると結論することができた。四、五、六量体は二本の尾部纖維が結合してできたものと考えることができる。

T 4 ファージの短尾部纖維(short tail fiber)は gp 12^⑤(分子量 55,000)のみで構成されている。短尾部纖維の分子量を Bio-gel P-200 クロマトグラフィーの結果から測定すると 167,000 となり、gp 12 の三量体であることが報告されている。^⑥ T 4 ファージは T 3 ファージより複雑な構造をしていて尾部纖維も長短の二種を各々 6 本づつ持っている。長尾部纖維(long tail fiber)は、吸着作用が可逆的で短尾部纖維が宿主の細胞表面に吸着して始めて不可逆的な吸着が成立することがわかっている。短尾部纖維は T 3 ファージの尾部纖維と大きさもだいたい同じで電子顕微鏡による観察では、非常によく似た構造をしているので、T 3 ファージの尾部纖維は T 4 ファージの短尾部纖維と同等のものと考えられる。^⑦

3) 尾部纖維のサブユニットの方向性^⑧

T 3 ファージ粒子をタンパク分解酵素であるキモトリプシンで消化すると、尾部纖維のみが消化され分子量 65,000 の gp 17 が 3 本とも全て分子量 58,000 に切断される(図4)。この分子量 58,000 の切断片がファージに結合した形で残っているのかどうかを調べるためにキモトリプシン消化したファージを CsCl 密度勾配遠心法で精製し、アクリルアミド電気泳動法によってタンパク組成を調べた。図4に示すように 58,000 断片は、ファージ粒子



図4 キモトリプシン消化したT3ファージ

T 3 ファージをキモトリプシン消化後 CsCl 段階的密度勾配遠心法でファージを精製し、SDS-PAGE で分析した。
- ; 未消化ファージ(対照), + ; キモトリプシン消化 T 3 ファージ, 数字は分子量を示す(単位, キロダルトン)。

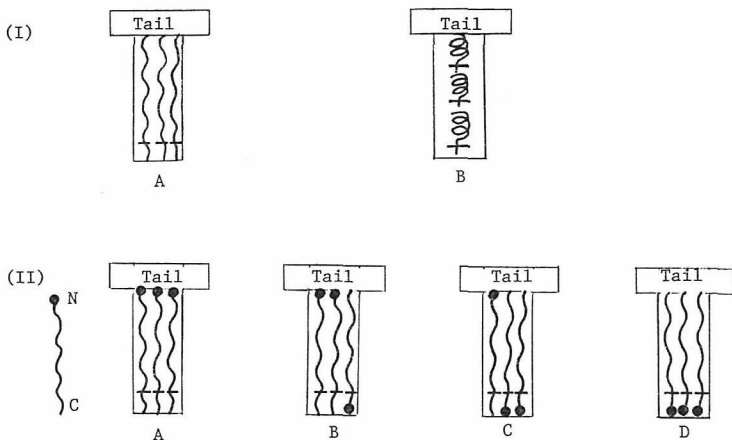


図5 尾部纖維の構造モデル

尾部に結合している1本の尾部纖維を表す。N及びcはgp 17のN-端及びc-端を表す。gp 17の横に入れた線はキモトリプシン切断点を表す。

に結合した形で残っていることがわかった。キモトリプシン消化ファージには分子量65,000のgp 17がみられず58,000断片の含量は未処理ファージのgp 17とほぼ同じくらいであった。この結果から尾部纖維の3本のgp 17は互いに平行して並んでいる図5、ⅠAのモデルが適していると考えられる。即ち、もし図5、ⅠBのモデルならばキモトリプシン消化により58,000断片の含量は分子量65,000のものの $\frac{1}{3}$ 量に減るか、あるいは、切断されない65,000のものが残るはずである。実際キモトリプシン消化したファージの尾部纖維を尾部に結合した形で電子顕微鏡観察すると $\frac{1}{10}$ 程長さが短くなっているのが観察された(未発表データ)。

次に3本のgp 17が平行して縦列に配置しているとすると3本のgp 17の方向性はどうであろうか。図5、Ⅱに示すモデルが考えられる。これを決定するためには、キモトリプシンの切断点がgp 17のN-端側か、それともC-端側にあるかを決定すれば良い。即ちキモトリプシンで切断されたgp 17のN-端のアミノ酸配列を分析して、N-端が保存されておれば図5Ⅱ、Aのモデルになるし、N-端アミノ酸が正常なgp 17と完全に異っておれば図5Ⅱ、Dのモデルになり、2種以上のアミノ酸になればB、Cのモデルが考えられる。キモトリプシン消化された尾部纖維のN-端のアミノ酸分析がなされた。この結果両方ともN-端は、N-Ala-X-Val-Ile- (Xは同定で

1- 25 Ala Asn Val Ile Lys Thr Val Leu Asp GLY Ser Asn Arg Asp Phe Asn Ile Pro Phe Glu Tyr
 26- 50 Leu Ala Arg Lys⁺ Phe Val Val Val Ser Lys Val Asp Arg Lys Val Leu Ser Ile Asn Ala Asp Tyr Arg
 51- 75 Phe Ala Thr Arg Thr Thr Ile Ser Leu Thr Lys Ala Trp GLY Pro Ala Asp GLY Tyr Thr Thr Ile Glu Leu Arg
 76-100 Arg Val Val Ser Thr Gln Thr Asp Gln Leu Val Asp Phe Thr Asp GLY Ser Ile Asn Ala Tyr Asp Leu Asn Val
 101-125 Ala Gln Ile Gln Thr Met His Val Ala Glu Glu Ala Arg Asp Leu Asn Ala Val Asp Arg Asp Ala Val Pro Phe
 126-150 Gly His Leu Asp Ala Arg Gly Arg Ile Val Asn Leu Ala Asn Gln Asn Ser Trp Gln Asn Glu Ala Glu
 151-175 Gly Gln Leu Lys Thr Met Asn Gln Asn Ser Trp Gln Ala Arg Asn Glu Leu Gln Phe Arg Asp Ala Val Pro Phe
 176-200 Thr Phe Arg Asn Gln Thr Gln Val Phe Lys Asn Gln Ser GLY Thr Asn Ala Thr Asn Thr Lys Gln Trp Arg Asp
 201-225 Glu Ala Arg Asp Gln Ala Gln Phe Lys Asn Thr Ala Gln Ser Gln Gln Tyr Ala Thr Ser Ala Gln Asn Asn
 226-250 Ser Ala Thr Thr Ala Asp Arg Leu Glu Leu Val Asn Ala Asn Ser Ala Thr Asp Ala Asp Ser Arg Asn Leu
 251-275 Ala Gln Gln His Ala Asp Arg Leu Glu Leu Val Asn Ala Asn Ser Ala Thr Asp Ala Asp Ser Arg Asn Leu
 276-300 Asp Lys GLY Asp GLY Thr Asn Val Tyr Trp Lys GLY GLY His Ala Asn GLY Arg Leu Tyr Leu Thr Ser Asp
 301-325 Gly Phe Asp Cys GLY Gln Tyr Gln Phe GLY GLY Ser Ala GLY Arg Tyr Ser Val Met GLU Trp GLY Ile
 326-350 Glu Lys Ala Trp Leu Met His Val Glu Arg Arg Glu Arg Thr Thr Ala Ile Val Asn Ile Gln Leu Val Val
 351-375 Asn GLY His Ile Ile Ala GLY Asp Met GLY Asp Met GLY Asp Met GLY Asp Met GLY His Ile His Ala GLY His
 376-400 Glu Ser Ala Ser Asp Lys Ala Gln Tyr Ile Leu Ser Lys Asp GLY Asn Arg Asn Asn Trp His Ile GLY Arg GLY
 401-425 Ser Asp Asn Asn Asp Cys Thr Phe His Ser Tyr Val Tyr Gln Thr Asp GLY Asn Ile Gln GLY Pro Asp Tyr Ala
 426-450 Val Val Asn Lys Arg Phe His Val Gln Ala Val Val Ala Thr Asp GLY Asn Ile Gln GLY Thr Lys Trp Ala Ala
 451-475 Arg Lys Trp Leu Asp Ala Tyr Leu Asn Asp Thr Tyr Val Lys Lys Thr Met Ala Trp Ala Val Val Ala Ala
 476-500 Ala Ser Asp Ser^{LYS} Met GLY GLY Ser Gln Thr Asp Thr Leu His Arg Thr Cys Asp Ser Ala Thr TYR GLY
 501-525 Leu Arg Pro Glu Thr Ile Gln Thr Ser Ser Gln Leu Val Leu Val Thr Val Ser Thr Ser^{TYR} GLY Gln Pro Arg Arg
 526-550 Trp Leu Lys Phe Gln Ile His Ser Asn Gln Arg Val Phe Lys Asn Ile Ala Asp Arg Ala Ala Thr Pro Thr Ala
 551-556 Ile Ala Val Glu Asp Val

図 6 gp 17 のアミノ酸配列

遺伝子17のDNA塩基配列から決定されたgp 17のアミノ酸配列を示す。点線のアンダーラインはN-端のアミノ酸分析された部分を示す。アンダーラインは高等生物 receptor の認識部位に似た配列を示す。四角で囲ったアミノ酸はキモトリーション切断点と思われるアミノ酸を示す。

表1 尾部纖維のN-端アミノ酸配列

N-端アミノ酸配列	
D N A 塩基配列	N-Ala-Asn-Val-Ile-
未処理尾部纖維	N-Ala- X -Val-Ile-
キモトリプシン処理尾部纖維	N-Ala- X -Val-Ile-

きなかった) というように同じアミノ酸配列をしており、この配列は遺伝子 17 の D N A 塩基配列から推定された gp 17 の N - 端のアミノ酸配列 N-Ala-Asn-Val-Ile- (図 6) に相当することがわかった (表 1)。この結果はキモトリプシン消化されたファージの gp 17 の N - 端は完全に保存されていることを示し、図 5 II, A のモデルが正しいと結論することができた。即ち gp 17 は 3 本とも N - 端側で尾部に結合しているということである。

4) gp 17 の一次構造

T 3 ファージの遺伝子 17 は T 3 - D N A を制限酵素 Hpa I で消化した時、D N A 断片 M, J, I の三つにまたがって存在する。この D N A 断片 M, J, I が各々クローニングされ次いで塩基配列が決定された。図 6 にその塩基配列から決定されるアミノ酸配列を示す。

a) キモトリプシン切断点の同定

T 3 ファージをキモトリプシンで消化すると尾部纖維だけが消化され、変性後 S D S ポリアクリルアミド電気泳動法で調べると分子量 65,000 の gp 17 が分子量 58,000 になる。前章で述べたように、このキモトリプシン切断点は N - 端が保存されていることから、C - 端から分子量 7000 ぐらい入った所であろうと考えることができる。キモトリプシンの消化点はチロシン、フェニールアラニンの C - 端側を切るとされているので、丁度 56,000 ぐらいの分子量の断片が得られる切断点をアミノ酸配列上に推定することができる。S D S ポリアクリルアミド電気泳動法 (SDS-PAGE) の解析では分子量 65,000 とされていたが、アミノ酸配列から計算すると 61,800 になった。そこでキモトリプシン消化された gp 17 の分子量は S D S - P A G E の位置からは 5,8000 となるが正常 gp 17 の分子量 (65,000) を 61,800 と補正すると、58,000 は 55,200 になる (表 2)。約 55,200 の断片を生じるような切断点を C - 端でさがすと 480 番目と 499 番目のチロシンと 521 番目のフェニールアラニンが上げられる。これらの箇所で切断されたとして各々断片の分子量を計算すると 53,380, 55,400, 57,680 になり 55,200 に一番近い値は 499 番目のチロシンとなる。

表2 キモトリプシン切断点の同定

切斷箇所	計算値(分子量)
480 Tyr	53.38 kd
499 Tyr	55.4 kd
521 Phe	57.68 kd
観測値(分子量)	計算値(分子量)
gp 17	65.0 kd
切断 gp 17	58.0 kd
	55.20 kd (61.80 X 58.0 / 65.0)

(6) 宿主認識部位

血小板が凝集したり細胞性粘菌が集合するといった現象は細胞どうしが細胞表面にある特異的な部位(receptor)を認識することによって行われている。receptorを認識することができる物質、例えば血小板だとフィブロネクチンや細胞性粘菌だとジスコイジンIなどは細胞が凝集を開始するためのひきがねによって細胞表面に分泌される。そして細胞表面のreceptorにフィブロネクチンやジスコイジンIが結合することにより特異的な細胞どうしの凝集(粘着)がおこると考えられている。このフィブロネクチンやジスコイジンIが細胞のreceptorに結合する部位には2つのタンパクに共通のアミノ酸配列(Gly-Arg-Gly-Asp-)があり、このペプチドが結合に関係していることが報告されている。

ファージが宿主に吸着する場合、尾部纖維が宿主の表面に特異的に吸着する。T4ファージの吸着には宿主のLPS(リポポリサッカライド)と細胞表面のタンパクであるOmpC(分子量36,000)が関係していることが報告されている。¹³ T3ファージの場合もLPSと細胞表面タンパクが尾部纖維と作用してファージの吸着を成立させているものと考えられる。尾部纖維(gp17)が細胞表面のLPSや表面タンパクに特異的に結合することは、血小板上のグリコプロテインIIIに特異的に結合するフリプロネクチンや細胞性粘菌の集合において細胞表面で細胞表面タンパクのグリコプロテインやN-アセチルグルコサミンに結合するジスコイジンIとの類似性が考えられる。フィブロネクチンやジスコイジンIには細胞receptorに結合する部位(domain)がありGly-Arg-Gly-Asp-の共通のアミノ酸配列をもっていることが報告されている。T3の尾部纖維であるgp17についてアミノ酸配列を調べてみると

N-端から399番目に Gly-Arg-Gly-Ser-Asp- の配列がみつかった。398番目から406番目ぐらいまで疎水性が低いアミノ配が並んでおり、このあたりが立体構造的に分子の外側に出ているとすると細胞表面との結合に関係することも考えやすい。今のところこの部位が細胞 receptor との結合部位であるという証拠は一つもないが高等な生物との類似性が見つかったことは興味深いことである。

尾部纖維の二次、三次、四次構造のくわしい解析がもっか進行中で、それらが解明されると機能と構造の関係が明確になると思われる。

ま と め

T 3 の尾部纖維の構造は gp 17 (遺伝子17でコードされるタンパク、分子量61,800) が 3 本平行して並び尾部纖維をつくっている。それらの N-端側が尾部に結合し、C-端側が宿主への吸着に関与している。gp 17 のアミノ酸配列が DNA 塩基配列から決定され、高等生物の細胞吸着部位 (receptor) に結合するタンパクに共通なアミノ酸配列によく似た配列 (-Gly-Arg-Gly-Ser-Asp-) が gp 17 にもあることがわかった。

引 用 文 献

- ① Matsuo-Kato, H., Fujisawa, H., and Minagawa, T. (1981) Structure and assembly of bacteriophage T 3 tails. *Virology* 109, 157-164.
- ② De Mars, R. I. (1955). The production of phage-related materials when bacteriophage development is interrupted by proflavine. *Virology* 1, 83-99.
- ③ Kato, H., Fujisawa, H., and Minagawa, T. (1985). Purification and Characterization of gene 17 product of Bacteriophage T 3. *Virology* 146, 22-26.
- ④ Davies, G. E., and Stark, G. R. (1970). Use of dimethyl suberimidate, a Cross-Linking Reagent, in Studying the Subunit Structure of Oligomeric Proteins, *Proc. Nat. Acad. Sci. USA* 66, 651-656.
- ⑤ Kells, S. S., and Haselkorn, R. (1974). Bacteriophage T 4 short tail fibers are the product of gene 12. *J. Mol. Biol.* 83, 473-485.
- ⑥ Kells, S. S., Ohtsuki, M., and Haselkorn, R. (1975). The Structure of bacteriophage T 4 gene 12 protein. *J. Mol. Biol.* 99, 349-351.
- ⑦ Goldberg, E. (1983). Recognition, Attachment, and Injection. *Bacteriophage T 4*, American Society for Microbiology, Washington, D. C. 32-39.
- ⑧ Kato, H., Fujisawa, H., and Minagawa, T. Subunit arrangement of the

- tail fiber of bacteriophage T 3. Virology in press.
- ⑨ Yamada, N., Fujisawa, H., Kato, H., Hamada, K., and Minagawa, T. (1986). Cloning and Sequencing of the Genetic Right end of bacteriophage T 3 DNA. Virology in press.
- ⑩ Laskowski, M. (1955). Chymotrypsinogens and Chymotrypsins. Methods in Enzymology 2, 8-26.
- ⑪ Gardner, J. M. and Hynes, R.O. (1985). Interaction of fibronectin with its Receptor on Platelets. Cell, 42, 439-448.
- ⑫ Gabius, H. J., Springer, W. R., and Barondes, S. H. (1985). Receptor for the cell binding site of Discoidin I. Cell, 42, 449-456.
- ⑬ Yu, F., and Mizushima, S. (1982). Roles of lipopolysaccharide and outer membrane protein OmpC of *Escherichia coli* K-12 in the receptor function for bacteriophage T 4. J. Bacteriol. 151, 718-722.

(本学助教授 自然科学)